

II-27 河床変動に関する二三の考察

京都大学工学部 正員 芦田和男
京都大学工学部 正員 田中祐一郎

1. はじめに： 河床変動は従来より特性曲線法や微小変動法などによって取り扱われているが、とくに後者については、リグレットも初期変動が $Z = A_0 e^{ft + \lambda \rho x}$ の形で与えられる場合について検討され、その性質について考察が進められていくようである。したがって初期変動が任意の形で与えられる場合についてはその解は求められていらない。こうした場合、すなわち河床の初期形状が任意の形で与えられている場合について著者らはRiemann積分法を用いてその一般解を求めた。またその解を検討することによりこの取り扱いの適用限界および河床変動の二三の性質などを明らかにすることができた。

2. 基礎方程式： 不定流の運動方程式および連続式は流速分布に関する補正係数 α を 1 とすると、単位中の長方形断面における二次元流の場合について、

$$\frac{\partial h}{\partial x} + \frac{1}{g} \frac{\partial v}{\partial t} + \frac{2}{g} \frac{\partial^2 v}{\partial x^2} = i - \frac{u_0}{g} \quad \dots \dots \dots (1) \quad \frac{\partial h}{\partial t} + \frac{2}{g} (f \cdot v) = 0 \quad \dots \dots \dots (2)$$

で与えられる。また流砂量公式としては種々のものが提案されていくが、こゝでは Brown の型のものを用いるものとする。単位中、単位時間当たりについて、

$$q_t = \alpha' u_0 (u_0^2 - u_{*c}^2)^m \quad \dots \dots \dots (3)$$

となり、また流れの連続式は

$$\frac{\partial z}{\partial t} + \frac{1}{1-\alpha'} \frac{\partial h_t}{\partial x} = 0 \quad \dots \dots \dots (4)$$

と表わされる。

ここで河床の微小な変動 z' によって生ずる水深および平均流速の等流状態からの微小変動量を h', v' とし、一定量と微小量とに分けこれをそれぞれ

$$h = h_0 + h', \quad v = v_0 + v', \quad z = z_0 + z' \quad \dots \dots \dots (5)$$

とする。(5)式を(1)および(2)式に代入して高次の微小項を省略すると、

$$\frac{\partial h'}{\partial x} + \frac{1}{g} \frac{\partial v'}{\partial t} + \frac{v_0}{g} \frac{\partial v'}{\partial x} + \frac{\partial z'}{\partial x} + \frac{n^2 v_0^2}{K' R_0^2} (1 + 2 \frac{v'}{v_0} - \frac{4}{3} \frac{h'}{h_0}) \dots \dots \dots (6) \quad \frac{\partial h'}{\partial t} + h_0 \frac{\partial v'}{\partial x} + v_0 \frac{\partial h'}{\partial x} = 0 \quad \dots \dots \dots (7)$$

が得られる。この(6)および(7)式において

$$\frac{1}{g} \frac{\partial v'}{\partial t} + \frac{v_0}{g} \frac{\partial v'}{\partial x} = - \frac{v_0^2}{g K' R_0} \frac{\partial h'}{\partial x} \left(1 - \frac{\omega}{v_0} \right), \quad \frac{\partial h'}{\partial t} + v_0 \frac{\partial h'}{\partial x} = v_0 \left(1 - \frac{\omega}{v_0} \right) \frac{\partial h'}{\partial x}$$

となる。こゝに $\omega = - \frac{\partial h'}{\partial t} / \frac{\partial h'}{\partial x}$ であり河床変動の伝播速度を表わす。したがって運動方程式および連続式のどちらとも $|\omega/v_0| \ll 1$ なる条件のもとでは $\frac{\partial h'}{\partial t}$ の項を省略してよいかかる。そのような場合には、次のような河床変動に関する基礎方程式が誘導される。

$$\frac{\partial^2 z'}{\partial x^2} + a \frac{\partial^2 z'}{\partial x \partial t} - b \frac{\partial z'}{\partial t} = 0 \quad \dots \dots \dots (8)$$

$$a = \frac{6}{7} \frac{1 - F_0^2}{K' V_0}, \quad F_0 = \frac{V_0}{\sqrt{g h_0}}, \quad b = \frac{20}{7} \frac{n^2 V_0^2}{K' R_0^2}, \quad \left. \begin{aligned} K' &= \frac{\alpha' u_0}{(1-\lambda) V_0 R_0} \left[(u_0^2 - u_{*c}^2)^m + 2m u_0 (u_0^2 - u_{*c}^2)^{m-1} \right], \\ d' &= \frac{K d}{\{(1-\lambda) V_0 R_0\}^m} \end{aligned} \right\} \dots \dots \dots (9)$$

$$3. \text{ 基礎方程式の解： } (8) \text{ 式を解くために} \quad z' = Z'_0 e^{sx-kt} \quad \dots \dots \dots (10)$$

とおき変数 x, t を次のように s, τ に変換し、 s, τ を次のように決めると(8)式は(10)式となる。

$$s = t - ax, \quad \tau = t \quad \dots \dots \dots (11) \quad s = \frac{b}{a}, \quad \tau = \frac{2b}{a^2} \quad \dots \dots \dots (12) \quad \frac{\partial^2 z'_0}{\partial s^2} - \frac{b^2}{a^2} Z'_0 = 0 \quad \dots \dots \dots (13)$$

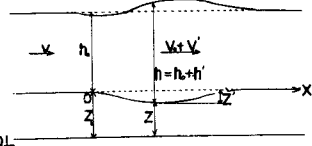


FIG-1 記号説明図

この(13)式は双曲線型偏微分方程式であり Riemann 構分法を応用して解くことができる。この Riemann 関数 v は次のように求められる。

$$v(z, \eta; z_0, \eta_0) = J_0 [2\sqrt{\frac{b^2}{a^2}} (z - z_0)(1 - \eta_0)] \dots \dots \dots (14)$$

そこで次のような初期条件および境界条件の場合について解を求める。

$$x=0, 0 \leq x \leq x_1 \text{ で } Z' = f(x); \quad 0 \geq x \text{ 又は } x \geq x_1 \text{ で } Z' = 0 \dots \dots \dots (15)$$

$$x=0 \text{ で } Z'=0, \frac{\partial Z'}{\partial x} = 0 \dots \dots \dots (16)$$

(15)および(16)の諸条件を満足するヨーリ平面上での積分路は Fig-2 の如くになり、(15)の条件にしたがって次のようにその範囲を今く、それぞれの範囲における曲線に沿って次の積分を行なうことによりその解を得ることができる。

$$\int_C (P d\eta - Q d\zeta) = 0 \Rightarrow P = \frac{1}{2} (V \frac{\partial Z'}{\partial \eta} - Z'_0 \frac{\partial V}{\partial \eta}), \quad Q = \frac{1}{2} (V \frac{\partial Z'}{\partial \zeta} - Z'_0 \frac{\partial V}{\partial \zeta}) \dots \dots \dots (17)$$

i) $z_0 \leq z$, すなわち $x_1 \leq x_0 - \frac{t_0}{a}$ の場合、

これは右時間後にあつて実 x_0 に変動の先端が到達していなければ $Z' = 0$ となる。

ii) $z_0 \leq z \leq 0$ すなわち $x_1 \leq x_0 - \frac{t_0}{a} \leq 0$ の場合、

これは右時間後に変動の先端は x_0 を通過したが後端はまだ x_0 に到達していなければ、このときの解は次のようになる。

$$Z' = f(x_0 - \frac{t_0}{a}) e^{-\frac{1}{2} K t_0} - e^{j(x_0 - \frac{t_0}{a})} \int_{x_1 - \frac{t_0}{a}}^{x_0 - \frac{t_0}{a}} f(x) e^{-jx} \frac{\sqrt{b^2 t_0 / a^2}}{\sqrt{x_0 - \frac{t_0}{a} - x}} \cdot J_0 [2\sqrt{\frac{b^2 t_0}{a^2} (x_0 - \frac{t_0}{a} - x)}] dx \dots \dots \dots (18)$$

iii) $z_0 \geq 0$ すなわち $x_0 - \frac{t_0}{a} \leq 0$ の場合、

これは右時間後には変動は全て x_0 を通過してしまっていふ場合で、 $Z' = 0$ となる。

4. 解の検討： (18)式で示される解の性質は第一項と第二項との大きさの割合によつてきます。第一項は $e^{-\frac{1}{2} K t_0}$ で減衰しながら、 $W = \frac{1}{a}$ の速度で伝播する波動解をあらわし、第二項はその変動の形狀を歪める擾乱項である。

著者らは第一項と第二項との割合が河床こう配、粗度係数などの変化によつてどのように変るかを各種の場合について数値計算により検討した。その詳細については講演時にゆずるが、要約すると次のようである。第一項と第二項との割合は変動の先端において最も大きく、後端に行くにつれて小さくなる。また Froude 数 F_0 が小なるときは小さく、 $F_0 = 1$ に近づくにつれて大きくなるが F_0 が 1 よりも大なる場合は F_0 の増大とともに減少する。 a, b, x_1 などの値に もよるが一般に $F_0 = 1$ の近傍を除いては第二項を省略してもよいようであり、この場合変動は x と t によつて決まる。すなわち、変動は常流 ($a > 0$) では下流へ、射流 ($a < 0$) では上流へ移動する。また x は常に正だから変動は時間と共に減衰していく。

上記の基礎方程式は、時間的加速度項を無視しており、この取り扱いが許されるのは前述の如く $| \frac{b}{a} | \ll 1$ の場合である。この条件は $| \frac{b}{a} - \frac{K'}{F_0} | \ll 1$ と書き直され、一般に K' は 1 に対して十分小さいから $F_0 = 1$ の近傍を除いてはこの取り扱いが妥当であることがわかる。

また微小変動法を用いてヨーリ平面上で $\ll h$ であることが必要である。二三の数値計算による検討では、 $Z'/h = 0.1$ 程度に達すると高次の微小項を省略した影響があらわれてくるようである。

以上本論文は理論的取り扱いに終始したが今後は実験的検討を加えると共に Froude 数の影響および本方法の適用限界などの問題につき更に考察を進めたうと思つていい。

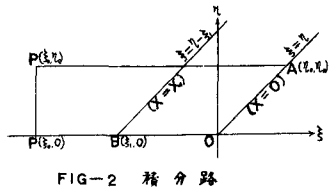


FIG-2 積分路